

## IV-15 了子で補剛された連續桁の解法

東京大学 正員 平井 敦 ○ 東京大学 深員 倉西 茂

Y字形の谷の様な地形の場所を渡る時、普通はスチールチー橋の様な形式が使用されると、図-1に示す様に上弦材をアーチ支点上で切らず連續構造といため、簡単である。H-橋と假稱する)は次の様な利点をもつ。

1) 上部に支点補剛直桁を連續構造とするより側面同の連續桁としての恩恵に浴し、中央側面は彈性固定のアーチの如き作用を受ける。従って車両上路型口一セクション又は2セクションより応力的には見て有利である。

2) アーチの部分の屈曲現象に対する上部補剛桁の寄りかね上路口一セクション又は2セクション等に比較して大である。

3) H-橋は連續補剛桁とアーチ部との合成構造物の立体的構造となり得る。横荷重が載ると対し、2セクションアーチより剛性が大きい。

4) H-橋では中间橋脚を省略する事が可能である。

5) 床部の取付けかみ2セクションアーチより簡単である。又上部桁を箱桁とする事が出来る。

6) H-橋の鋼重は上記の利点を考慮すると比較的軽くなる計算が大である。

以上、様な利点を有するH-橋は從来より理論的解説がなされて居るが、たゞ方列論的解法を試み以下記述する様な結果を得た。

中央側面は(n+1)箇の格間に有するキリは各格奥モード上トノ節支点上のモードメント工角と水平反力を不静定量とし、記号は總て鋼橋第Ⅲ巻平井敦著P.53~54を準ずる。I グラムモード上トノモードメント

$$M_{ki}^o = t_k (10_{ki} - h_k H_i) + b_{ko}^o \cdot M_{oi}^o + b_{kn+1}^o \cdot M_{n+1,i}^o$$

$$M_{ki}^T = (1-t_k) (10_{ki} - h_k H_i) + b_{ko}^T \cdot M_{oi}^o + b_{kn+1}^T \cdot M_{n+1,i}^o$$

二点へ引張る、 $\therefore$

$$b_{ko}^o = t_k \frac{n+1-k}{n+1} - \frac{z_{0i}}{l_k + l_{k+1}} a_{k1}, \quad b_{kn+1}^o = t_k \frac{k}{n+1} - \frac{z_{0n+1}}{l_k + l_{k+1}} a_{kn}$$

$$b_{ko}^T = (1-t_k) \frac{n+1-k}{n+1} + \frac{z_{0i}}{l_k + l_{k+1}} a_{k1}, \quad b_{kn+1}^T = (1-t_k) \frac{k}{n+1} + \frac{z_{0n+1}}{l_k + l_{k+1}} a_{kn}$$

II 支点モード上トノモードメント

$$M_{oi}^o = \frac{-C_1 (C_{oi} + 10_{oi}) + C_2 (C_{n+1,i} + 10_{n+1,i})}{C_1^2 - C_2^2}$$

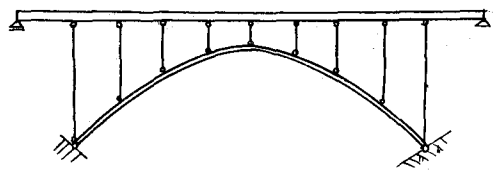


図-1

$$M_{n+1,i}^o = \frac{-C_1(C_{n+1,i} + M_{n+1,i}') + C_2(C_{n+1,i} + M_{n+1,i}')}{C_1^2 - C_2^2}$$

$$= \approx 1 = C_1 = \sum_{k=1}^{n+1} \left\{ \frac{\sigma_k}{EJ_k^o} (b_{k,0}^o - t_k h_k \Delta H)^2 + \frac{v_k}{EJ_k^o} (b_{k,0}^o - (1-t_k) h_k \Delta H)^2 \right\} + \frac{\sigma_l}{EJ_l^o} (1 + (b_{l,0}^o - t_l h_l \Delta H) - 2(b_{l,0}^o - t_l h_l \Delta H)) + \frac{L_1}{3EJ_1}$$

$$C_2 = \sum_{k=1}^{n+1} \left\{ \frac{\sigma_k}{EJ_k^o} (b_{k,n+1}^o - t_k h_k \Delta H)(b_{k,0}^o - t_k h_k \Delta H) + \frac{v_k}{EJ_k^o} (b_{k,n+1}^o - (1-t_k) h_k \Delta H)(b_{k,0}^o - (1-t_k) h_k \Delta H) \right\}$$

$$C_{o,i} = \sum_{k=1}^{n+1} (M_{k,i} - h_k H_i) \left\{ \frac{\sigma_k}{EJ_k^o} (b_{k,0}^o - t_k h_k \Delta H) t_k + \frac{v_k}{EJ_k^o} (b_{k,0}^o - (1-t_k) h_k \Delta H) (1-t_k) \right\}$$

$$C_{n+1,i} = \sum_{k=1}^{n+1} (M_{k,i} - h_k H_i) \left\{ \frac{\sigma_k}{EJ_k^o} (b_{k,n+1}^o - t_k h_k \Delta H) t_k + \frac{v_k}{EJ_k^o} (b_{k,n+1}^o - (1-t_k) h_k \Delta H) (1-t_k) \right\}$$

$M_{k,i}$ :  $R_{c,i}$ , 左側空間 A, B 上荷重分載  $\rightarrow$  たとえの単純化上  $\rightarrow$  支点上の接線角  $\alpha$  方向。

### III. 端点 $-x$ 上下左右水平反力の変化

$$\Delta H = \sum_{k=1}^{n+1} \left[ \sigma_k / b_{k,1,0} (2t_{k,1} h_{k-1} + t_k h_k) + b_{k,0}^o (2t_k h_k + t_{k-1} h_{k-1}) + v_k / b_{k,1}^o (2(1-t_{k,1}) h_{k-1} + (1-t_k) h_k) + v_k^o (2(1-t_{k,1}) h_k + (1-t_{k-1}) h_{k-1}) \right] + \sum_{k=1}^{n+1} \left[ \sigma_k / t_{k-1} h_{k-1} (2t_{k-1} h_{k-1} + t_k h_k) + t_k h_k (2t_k h_k + t_{k-1} h_{k-1}) + v_k / t_{k-1} h_{k-1} (2(1-t_{k-1}) h_{k-1} + (1-t_k) h_k) + v_k^o (2(1-t_{k-1}) h_k + (1-t_{k-2}) h_{k-2}) \right] + \sum_{k=1}^{n+1} \frac{6v_k J_k}{\lambda^2 F_p} \sec k$$

### IV 水平反力

$$H_i = H_i^u + \Delta H (M_{o,i}^o + M_{n+1,i}^o)$$

$= \approx 1 = H_i^u$   $\Rightarrow$   $-x$  断点上  $\rightarrow$  水平反力  $\rightarrow$  ある。

### V 支柱反力

$$Z_{k,i} = -(1-t_k) \delta_k - t_k \frac{-h_{k-1} + 2h_k - h_{k+1}}{\lambda} H_i = b_{k,0} \frac{z_{0,i}}{\lambda (t_k + t_{k+1})} - M_{o,i}^o - b_{k,n+1} \frac{z_{0,i}'}{\lambda (t_k' + t_{k+1}')} M_{n+1,i}^o$$

又下路型上 (端部左連結) 在時  $t_k$  の値中  $a_k$  の項を零上 同様の結果を得る。